

Казначеев В. П., Трофимов А. В.

## ДИСТАНТНО-ИНФОРМАЦИОННЫЕ ВЗАИМОДЕЙСТВИЯ В «ПРОСТРАНСТВЕ КОЗЫРЕВА»

**Космопланетарная антропоэкология: фактический и аналитический материал**

(Продолжение. Начало в № 4/05, 1–4/06, 1-3/07, 1-4/08, 1/09)

*Международный НИИ космической антропоэкологии (МНИИКА)  
630117, Россия, г. Новосибирск, ул. Акад. Тимакова, 2*

Описаны эксперименты по изучению дистантных полевых взаимодействий между живыми клетками, людей друг с другом, растениями. Эти наблюдения и эксперименты с «выходом» из тела дают основание для вывода, что интеллект, который рассматривается как информация, как свойство, по-видимому, есть «специальная субстанция», полевая организация неизвестной формы живого вещества.

*Ключевые слова:* интеллект, полевые взаимодействия, живая клетка, живое вещество, белково-нуклеиновая форма жизни, полевая форма жизни.

### 8.5. Дистанционная трансляция генетической информации

Не менее важными представляются результаты экспериментов по дистанционной трансляции информации от измененного гена растений на неизмененный интактный геном, выполненных в соавторстве с профессионалом-генетиком в 2001 г.

Приводим полное описание этой экспериментальной серии.

**Цель.** Изучить возможность дистанционной трансляции информации от измененного гена растений на неизмененный (интактный) геном, а также фиксации и воспроизведения этой информации на минеральном (кремниевом) носителе.

**Методы.** 1. В качестве модели с измененным геномом использованы семена (2000 шт.) трансгенного растения (маркировка в эксперименте — TR), имеющего устойчивость к антибиоту канамицину (маркировка в эксперименте — Km200), а также семена обычных нетрансгенных растений (в эксперименте — SR<sub>1</sub> (2000 шт.)).

2. Для дистанционной трансляции информации использованы запатентованный способ [3] и цилиндрическое устройство (высота ~25,0 см, диаметр ~12 см) с обмоткой из световода (с затемненным изолирующим покрытием), подключенного к красному гелий-неоновому лазеру. Движение светового потока осуществлялось по часовой стрелке от верхней к нижней части цилиндра.

Предварительно смоченные водой, взятой 19 января, семена в пластиковых пробирках (0,6 мл) закреплялись внутри цилиндра по его вертикальной оси следующим образом: трансгенные семена (TR) на расстоянии ~3 см от верхнего края цилиндра, нетрансгенные семена (B<sub>1</sub>) — ~3 см от нижнего края цилиндра. На дне цилиндра в пластиковой незакрытой чашке Петри размещался порошкообразный минеральный носитель, прошедший предварительную обработку в «зеркала Козырева». Порошок распределялся равномерно по дну чашки на уровне 1,5 см. На расстоянии 40 см от цилиндра были расположены контрольные нетрансгенные семена (K<sub>1</sub>SR<sub>1</sub>). Лазер включался на 20 мин. Через 10 мин после его включения чашка Петри с носителем удалялась из цилиндра и переносилась в другое помещение. На 20 мин в порошок на глубину 1,5 см помещалась пластиковая пробирка с нетрансгенными семенами (B<sub>3</sub>) (2000 шт.). На расстоянии 10 см была расположена контрольная пробирка с нетрансгенными семенами (K<sub>3</sub>). После обработки все пробирки помещались в оболочку из фольги; через 3 ч осуществлялся посев обработанных (B<sub>1</sub>; B<sub>3</sub>), присутствовавших в зоне обработки (K<sub>1</sub>; K<sub>3</sub>) и контрольных семян (SR<sub>1</sub>Km(-); SRKm200; TRKm200) в тех же количествах, по 2000 шт. в специальные питательные среды в чашках Петри.

3. Через 3 нед после посева на 1/4 каждой чашки Петри подсчитывали белые, пострадавшие от канамицина, и зеленые, устойчивые к антибиотику растения. Нетрансгенные растения, растущие на среде без канамицина (SRKM(-)), должны были быть зелеными; нетрансген-

ные растения на среде с канамицином (SR<sub>1</sub>Km200) — белыми, а трансгенные растения на канамициновой среде должны были распределиться (в соответствии с законом менделевского расщепления) в соотношении 3 : 1 (три зеленых ростка на один белый).

**Результаты.** На фото 1 показано распределение белых и зеленых растений в чашках Петри с различными экспериментальными условиями. В нижнем (на фото 1) ряду в чашке Петри SR<sub>1</sub>Km(-) существенно преобладают зеленые нетрансгенные растения, выросшие на питательной среде без антибиотика. В средней чашке нижнего ряда (SR<sub>1</sub>Km200) — нетрансгенные растения, выросшие на среде с канамицином — явно преобладают белые. В крайней справа чашке нижнего ряда (TRKm200) — трансгенные растения с генетически обусловленной устойчивостью к канамицину. Заметно преобладание зеленых растений: антибиотик на них не действовал.

В верхнем ряду — две чашки Петри. В правой чашке (B<sub>1</sub> — SR<sub>1</sub>Km200) — нетрансгенные растения, выросшие на среде с антибиотиком из семян, находившихся на расстоянии ~1,5 см от пробирки с трансгенными семенами внутри «лазерного цилиндра» во время включения лазера. В этой чашке преобладают зеленые растения. В левой чашке (K<sub>1</sub>SR<sub>1</sub>Km200) представлены нетрансгенные растения, выросшие на среде с канамицином из семян, находившихся в пробирке на расстоянии 40 см от активированного «лазерного цилиндра». В этой чашке также преобладают зеленые растения.

На фото 2 в нижнем ряду — чашка Петри с трансгенными растениями (TRKm200) в среде антибиотика. Преобладают зеленые ростки. В верхнем ряду в правой чашке — нетрансгенные растения, выросшие в антибиотиковой среде из семян, находившихся в 20-минутном контакте с кремниевым носителем, который был в активированном «лазерном цилиндре» вместе, но не в прямом контакте (на расстоянии 17 см), с трансгенными семенами. В этой чашке (B<sub>3</sub> — SR<sub>1</sub>Km200) существенно преобладают зеленые растения. В левой чашке верхнего ряда — ростки из семян нетрансгенных растений, находившихся на расстоянии 10 см от чашки Петри с информационно-емким минеральным носителем. В этой чашке также преобладают зеленые растения, несмотря на то, что они выросли на среде с канамицином.

В табл. 1 представлено количественное соотношение зеленых и белых растений (трансгенных и нетрансгенных), выросших на средах с антибиотиком или без него и испытанных на стадии семян различные дистантно-информационные воздействия.

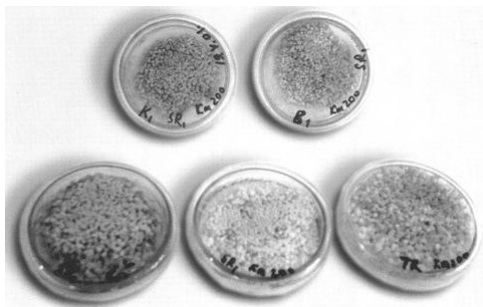
**Таблица 1. Распределение белых и зеленых (нетрансгенных и трансгенных) растений, выросших из семян, испытанных различные энергоинформационные воздействия**

№ п/п	Код	Белые растения	Светло-зеленые растения (2 листа)	Светло-зеленые растения (4 и более листа)	Сумма зеленых растений	Отношение зеленых растений к белым
1	SR <sub>1</sub> Km(-)	59	194	63	257	4,3:1
2	SR <sub>1</sub> Km200	262	54	—	54	1:48
3	TRKm200	82	—	255	255	3,1:1
4	B <sub>1</sub> SR <sub>1</sub> Km200	86	212	43	255	2,9:1
5	B <sub>3</sub> SR <sub>1</sub> Km200	63	127	83	210	3,3:1
6	K <sub>1</sub> SR <sub>1</sub> Km200	25	144	62	206	8,2:1
7	K <sub>3</sub> SR <sub>1</sub> Km200	99	378	17	396	4,0:1

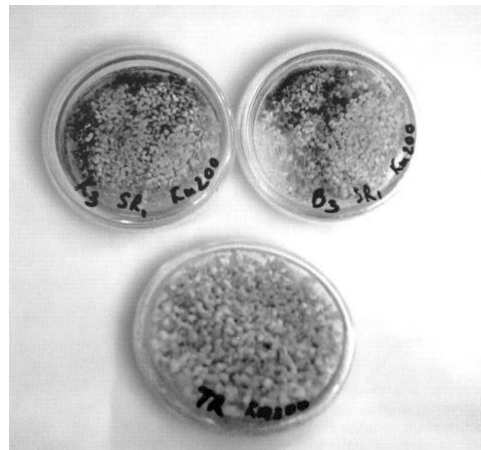
*Примечание.* SR<sub>1</sub>Km(-) — нетрансгенные растения без канамицина; SR<sub>1</sub>Km200 — нетрансгенные растения с канамицином; TRKm200 — трансгенные растения с канамицином; B<sub>1</sub>SR<sub>1</sub>Km200 — «информационно-трансгенные растения» (по отношению к канамицину) из нетрансгенных семян в «лазерном цилиндре»; B<sub>3</sub>SR<sub>1</sub>Km200 — «информационно-трансгенные» (по отношению к канамицину) растения из нетрансгенных семян, находившихся в трансгенно активированной минеральной среде; K<sub>1</sub>SR<sub>1</sub>Km200 — «информационно-трансгенные» (по отношению к канамицину) растения из нетрансгенных семян, находившихся в 40 см от активированного «лазерного цилиндра»; K<sub>3</sub>SR<sub>1</sub>Km200 — «информационно-трансгенные» растения (по отношению к канамицину) из нетрансгенных семян, находившихся в 10 см от трансгенно активированной минеральной среды.

Из анализа данных, приведенных в табл. 1, следует, что значительное количество зеленых растений, не проявивших чувствительности к антибиотику, выросло из нетрансгенных семян, находившихся в дистанционном или опосредованном носителем энергоинформационном

контакте с трансгенными семенами от растений, имевших генетически сформированную устойчивость к канамицину. Наибольшее количество зеленых растений из нетрансгенных семян ( $n = 396$ ) отмечено при их нахождении на расстоянии  $\sim 10$  см от «трансгенно активированного» минерального носителя, не только сохранившего, но и, возможно, усилившего дистанционно транслируемый поток генетической информации.



**Фото 1.** Распределение белых и зеленых растений в чашках Петри после пребывания трансгенных и обычных семян в пространстве включенного световодно-лазерного устройства (пат. РФ № 2163491 от 27.02.01).



**Фото 2.** Распределение белых и зеленых растений в чашках Петри после опосредованного контакта обычных семян с кремниевым носителем «трансгенной информации».

В контрольных экспериментах в «лазерном цилиндре» без трансгенных семян или при использовании для смачивания семян обычной («некрещенской») воды эффект «увеличения числа зеленых растений» отмечен не был ни при прямом, ни при опосредованном минеральным носителем воздействии активированного «лазерного цилиндра». В контрольной серии число зеленых нетрансгенных растений, выросших на среде с канамицином, не превышало 60.

Эксперименты с дистанционной трансляцией генетической информации на модели трансгенного, устойчивого к антибиотикам растения проводились дважды, в январе и апреле 2001 г. по техническому заданию МНИИКА с участием профессиональных генетиков. До настоящего времени материалы не обсуждались, об эксперименте было известно только трем исполнителям. Традиционная генетика не допускает подобных результатов, поэтому мы пока не называем имена исполнителей. Особая важность полученных данных для понимания природы живого вещества потребовала их публикации и обсуждения.

**Выводы.** 1. Под воздействием совокупности «полей», или особого состояния пространства, моделируемых с использованием лазерных световодов по способу, запатентованному в МНИИКА, возможна дистанционная межгеномная внутривидовая трансляция информации от конкретного гена.

2. Эффект дистанционно-генетической трансляции (дистанционно-генной инженерии) реализуется на расстоянии до 40 см от зоны моделирования диссимметричного пространства.

3. Минеральный кремниевый носитель, обработанный в «пространстве Козырева», фиксирует, усиливает и ретранслирует на биообъекты поток генетической информации конкретного содержания (устойчивость к антибиотикам).

4. Перспективна разработка специальных минеральных протекторов, обеспечивающих безопасность при производстве и использовании трансгенных продуктов питания и в случаях возможной дистанционной трансляции генетических дефектов у людей в зонах воздействия полей различного происхождения.

#### 8.6. Дистанционная трансляция нейрофизиологической информации

В 2002 г. была исследована возможность взаимодействия с кремниевыми субстратами полевых процессов, сопровождающих электрическую активность головного мозга человека, и последующей ретрансляции зафиксированной информации с оценкой ее эффекта по динамике

электроэнцефалограмм.

Использовано устройство, сконструированное по техническому заданию МНИИКА [2], имеющее вид усеченного конуса (малый радиус  $\sim 2,0$  см, большой радиус  $\sim 10$  см) с закамуфлированной обмоткой из световода, подключаемого к красному гелий-неоновому лазеру со стороны малого или большого радиуса, что обеспечивало движение светового потока и, возможно, сопровождающую его эфиродинамику в двух направлениях: от головы (головного мозга) к емкости (пластиковая пробирка 0,6 мл) с кристаллическим носителем или в обратном — от носителя к голове (головному мозгу).

Регистрация электроэнцефалограмм (ЭЭГ) проводилась по классическим отведениям на 12-канальном энцефалографе с компьютерным обеспечением фирмы «Нейрософт». При математической обработке оценивалась динамика амплитуды, частоты и мощности электрических сигналов, генерируемых в различных отделах головного мозга под воздействием заданных экспериментальных условий.

**Результаты.** После расчета средних величин амплитуды, частоты и мощности ЭЭГ-сигналов Д. В. Девициным [1] была оценена значимость различий этих показателей (по критерию Стьюдента) во все периоды I (запись на носитель) и II (ретрансляция) этапов эксперимента.

Анализ цифровых данных привел к следующему заключению:

1. Реальная фотостимуляция головного мозга приводит к снижению амплитуды, частоты и мощности спектра ЭЭГ.

2. «Информационная фотостимуляция» через активацию в «эфиродинамическом канале» записи на кристаллическом носителе полевых потоков головного мозга вызывает снижение амплитуды и мощности ЭЭГ-сигналов, но при этом увеличивает частоту спектра, что может свидетельствовать о психоэмоциональной реакции на воспринимаемую информацию, которая отсутствовала при реальном фотовоздействии.

3. Во всех периодах II этапа эксперимента после активации лазерно-световодного контура и «эфиродинамического канала», направленного на затылок испытуемого, отмечается дистанционно инициированное усиление нейрональной активности, особенно в затылочных отведениях, что может косвенно свидетельствовать об особой тропности структур головного мозга к подобным полям.

**Выводы.** 1. Моделированные в лазерно-световодных контурах «эфиродинамические потоки», очевидно, усиливая неравномерность эфира в пространстве головного мозга человека, влияют на активность нейронов и межнейрональных взаимодействий, по-видимому, оптимизируя функции головного мозга как «компьютера полевого типа».

2. Показана возможность дистанционной «записи» в «эфиродинамических потоках» на кристаллических (кремниевых) носителях комплексной полевой реакции головного мозга человека при воздействии на него светового потока (фотостимуляции).

3. С использованием ЭЭГ показана возможность «эфиродинамической» ретрансляции и восприятия головным мозгом зафиксированной на кристаллическом (кремниевом) носителе полевой информации, ранее инициированной фотостимуляцией структур головного мозга того же субъекта (испытателя).

4. Появление ЭЭГ-признаков психоэмоциональной реакции человека на ретранслируемую в «эфиродинамическом потоке» информацию может быть косвенным признаком качественных изменений, которые претерпела информация при взаимодействии с косным веществом (кристаллическим кремниевым носителем).

Н. И. Кобозев [4] рассмотрел вариант существования в механизмах функционирования головного мозга автоколебательных систем, переводящих «свободную энергию» в энтропийную, связанную обратной зависимостью с внешней космофизической «подпиткой». Атомно-молекулярная материя мозга человека, очевидно, не может полностью обеспечить мышление, поскольку мысль есть форма существования энергии. По мнению Н. И. Кобозева, единственный путь обеспечения векторизованного движения мысли — это подвод к молекулярной системе мозга человека отрицательной энтропии, компенсирующей положительную энтропию работающего мозга.

Важным условием фиксации информации на носителе в приведенном цикле работ была длительная экспозиция этого носителя в зеркально-моделированном «пространстве Козырева». Последующее включение элементов пространства в механизмы полевых структур головного мозга с увеличением их диссимметрии посредством потоков, образованных световодно-

лазерным контуром, может быть одной из первых экспериментальных моделей для изучения космофизической природы интеллекта.

По данным Д. В. Девицина (2001 г.), включение лазера в положении, когда световой поток направлен к головному мозгу, приводило к значительному увеличению мощности (на 16%), амплитуды (на 10%) и частоты ЭЭГ (на 6%), что является косвенным признаком активации жизнедеятельности мозга.

При помещении внутрь устройства в том же положении носителя, предположительно содержащего информацию, записанную (при включении устройства в обратной позиции, когда световой поток был направлен от головного мозга) в условиях фотостимуляции, зарегистрировано снижение амплитуды и мощности при увеличении средней частоты ЭЭГ-спектра, что может свидетельствовать об индукции психоэмоциональных реакций на ретранслируемую с носителя информацию о фотостимуляции.

При «информационной фотостимуляции», когда включенное световодно-лазерное устройство направлено на затылочные отделы головного мозга, а периферический зрительный анализатор не участвует в восприятии световой информации, мы фиксируем на ЭЭГ-картину, близкую к нативной фотостимуляции. При этом включение лазерного контура без «фотонной информации» приводило к повышению электрической активности головного мозга преимущественно в затылочных отведениях (эффект, обратный фотостимуляции).

В заключение этого обширного очерка важно отметить, что в отличие от сохраняющихся взглядов на живую клетку как на биомеханическую [6] или биофизическую систему [8], новосибирскими исследователями показано, что клетки — важнейший элемент космогеобиофизического конструкта, а дистанционные межклеточные взаимодействия и «полевая трансгенная инженерия» косвенно подтверждают возможность полевых форм живого вещества. На это указывает и опосредованный через носитель дистанционный перенос полевой информации функционально активного головного мозга человека.

Показано, что в онтогенезе живых систем динамика соотношения стабильных изотопов многих элементов отражает пока неизвестный механизм «холодного биотермоида», а не просто близость к составу пищи или месту проживания человека [5].

Считается, что ферментативные гормональные и иммунологические реакции обозначают фундаментальный уровень временной организации биопроцессов, на котором необходимо искать неделимые «кванты» биологического времени [7]. С использованием флюоресцентного зонда мы показали, что этот «фундамент» имеет космофизическую природу.

**(окончание следует)**

#### **Л и т е р а т у р а :**

1. Девицин Д. В. Динамическая оценка электрической активности головного мозга человека и проблема развития психофизических резервов организма в экранированном пространстве // Вестн. МНИИКА. — 2002. — № 9. — С. 77–82.
2. Казначеев В. П. Принцип Реди и проблема «соувинга» (противоречия основной биологической и эволюционной парадигмы) // Вестн. МНИИКА. — 2000. — № 7. — С. 9–15.
3. Казначеев В. П., Трофимов А. В., Шатарнин А. Ю. Устройство для дистанционного переноса информации с лекарственного препарата на организм человека: Пат. РФ на изобр. № 2163491 от 27 февраля 2001 г.
4. Кобозев Н. И. О физике мышления. — М., 1992.
5. Кроуз Г. Р. Стабильные изотопы и живые существа // Природа. — 1990. — № 1. — С. 34–41.
6. Таирбеков М. Г. Клетка как гравитационно-зависимая биомеханическая система // Авиакосмическая и экологическая медицина. — 2000. — Т. 34. — № 2. — С. 3–17.
7. Хасанов И. А. Феномен времени. 4.1. Объективное время. — М., 1998. — С. 148–181.
8. Popp F. A. Photon storage of biological systems // Electromagnetic bio-information. — Munchen; Wien; Baltimore, 1979. — P. 123–154.

*Статья поступила в редакцию 25.10.2005 г.*

*Kaznatcheyev V.P., Trofimov A.V.*

#### **The distance-information interaction in the “Kozirev space”**

There are described the experiments on studying of distant field interactions between alive cages, people, plants. These supervision and experiments with "exit" from a body give the grounds for a conclusion that intellect which is considered as the information or as property, apparently, is "a special substance", the field organization of the unknown form of living matter.

*Keywords:* intellect, field interactions, alive cage, live matter, albumen-nucleic form of life, field form of life.